

Nombre del Producto: Anticuerpo policlonal de conejo GLI-3**Nº de Catálogo: APRab11465**

Solo para uso en investigación.

Resumen

Descripción	Anticuerpo policlonal de conejo
Huésped	Conejo
Aplicación	IHC, ICC/IF, ELISA
Reactividad	Humano, Ratón, Rata
Conjugación	No conjugado
Modificación	Sin modificar
Isotipo	IgG
Clonalidad	Policlonal
Formato	Líquido
Concentración	1 mg/ml
Almacenamiento	Hacer alícuotas y almacenar a -20°C (válido por 12 meses). Evitar ciclos de congelación/descongelación.
Envío	Bolsas de hielo
Tampon	Líquido en PBS que contiene 50% de glicerol, 0,5% de proteína protectora y 0,02% de conservante de nuevo tipo N.
Purificación	Purificación por afinidad

Aplicación

Relación de Dilución	IHC 1:100-1:300, ICC/IF 1:200-1:1000, ELISA 1:5000-1:20000
Peso Molecular	-

Información del Antígeno

Nombre del Gen	GLI3
Nombres Alternativos	GLI3; Transcriptional activator GLI3; GLI3 form of 190 kDa; GLI3-190; GLI3 full length protein; GLI3FL
ID del Gen	2737.0
ID SwissProt	P10071
Inmunógeno	El antisuero se produjo contra el péptido sintetizado derivado de GLI-3 humano. Rango de AA: 11-60.

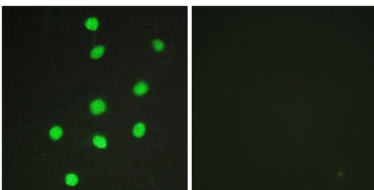
Antecedentes

Este gen codifica una proteína perteneciente a la subclase de proteínas de dedo de zinc de tipo C2H2 de la familia Gli. Se caracterizan como factores de transcripción que se unen al ADN y median la señalización de Sonic hedgehog (Shh). La proteína codificada por este gen se localiza en el citoplasma y activa la expresión del gen homólogo parcheado de *Drosophila* (PTCH). También se cree que desempeña un papel durante la embriogénesis. Las mutaciones en este gen se han asociado con varias enfermedades, como el síndrome de cefalopolisindactilia de Greig, el síndrome de Pallister-Hall, la polidactilia preaxial tipo IV y la polidactilia postaxial tipos A1 y B. [proporcionado por RefSeq, jul. de 2008], enfermedad: Los defectos en GLI3 son una causa del síndrome de Pallister-Hall (PHS) [MIM:146510]. El síndrome de Pallister-Hall se caracteriza por una amplia gama de manifestaciones clínicas. Se asocia principalmente con polidactilia central o postaxial, sindactilia y hamartoma hipotalámico. Las malformaciones son frecuentes en las vísceras, como la atresia anal, la úvula bífida, las malformaciones cardíacas congénitas y la displasia pulmonar o renal. Es un trastorno autosómico dominante. Los defectos en GLI3 son causa de polidactilia postaxial tipo A1/B (PAPA1/PAPB) [MIM:174200, 603596]. La PAPA en humanos es un rasgo autosómico dominante que se caracteriza por un dedo extra en el lado cubital o peroneo de las extremidades superiores o inferiores. El dedo extra está bien formado y se articula con el quinto metacarpiano/metatarsiano, por lo que suele ser funcional. Los defectos en GLI3 son causa de polidactilia preaxial tipo IV [MIM:174700]. La polidactilia preaxial (es decir, polidactilia en la cara radial/tibial de la mano/pie) abarca un grupo heterogéneo de entidades. En la polidactilia preaxial tipo IV, el pulgar presenta solo el grado más leve de duplicación, y la sindactilia, de diversos grados, afecta a los dedos 3 y 4. Enfermedad: Los defectos en GLI3 son la causa del síndrome acrocalloso (SCA) [MIM:200990]; también abreviado como ACLS. El SCA se caracteriza por polidactilia postaxial, duplicación del hallux, macrocefalia y ausencia del cuerpo calloso, generalmente con retraso grave del desarrollo. Enfermedad: Los defectos en GLI3 son la causa del síndrome cefalopolisindactilia de Greig (SCPG) [MIM:175700], un trastorno autosómico dominante que afecta el desarrollo de las extremidades y craneofacial. El GCPS se caracteriza por polidactilia preaxial y postaxial, sindactilia en los dedos de manos y pies, macrocefalia e hipertelorismo. Función: Participa en el desarrollo de las extremidades y el cerebro. Participa en la transducción de la señal SHH. Similitud: Perteneciente a la familia de proteínas de dedos de zinc de tipo C2H2 GLI. Similitud: Contiene 5 dedos de zinc de tipo C2H2. Especificidad tisular: Se expresa en una amplia variedad de tejidos adultos normales, como pulmón, colon, bazo, placenta, testículos y miometrio.

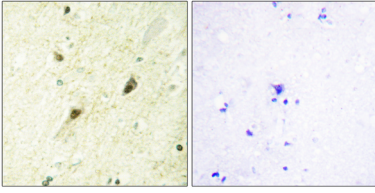
Área de Investigación

Erizo;Vías en el cáncer;Carcinoma de células basales;

Datos de Imagen



Análisis de inmunofluorescencia de células HepG2 con el anticuerpo GLI-3. La imagen de la derecha muestra el péptido sintetizado.



Análisis inmunohistoquímico de tejido cerebral humano incluido en parafina, utilizando el anticuerpo GLI-3. La imagen de la derecha muestra el péptido sintetizado.